

сообщения  
объединенного  
института  
ядерных  
исследований  
дубна

94-276

P13-94-276

И.Адам, К.Блажек<sup>1</sup>, В.Вагнер<sup>2</sup>, П.Малы<sup>1</sup>

РАСЧЕТ ОСНОВНЫХ ХАРАКТЕРИСТИК  
 $\text{Ge}(\text{Li}) - \text{NaI}(\text{Tl})$  АНТИКОМПТОНОВСКОГО  
СПЕКТРОМЕТРА МЕТОДОМ МОНТЕ-КАРЛО

<sup>1</sup>«Монокристаллы», Турнов, ЧР

<sup>2</sup>ИЯФ, Ржеж, ЧР

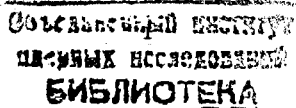
1994

Стремление существенно повысить чувствительность регистрации  $\gamma$ -излучения Ge(Li)-детектором привело нас к использованию антикомптоновского спектрометра. Этот прибор существенным образом подавляет непрерывную часть гамма-спектра - комптоновский фон и интенсивность пиков одиночного и двойного вылета, при этом интенсивность пиков полного поглощения практически не изменяется.

В Институте ядерной физики АН ЧР с 1976 года работает антикомптоновский спектрометр [1,2], который интенсивно используется в исследованиях структуры атомных ядер. Несимметричная геометрия размещения Ge(Li)-детектора в кристалле NaI(Tl) для этого типа спектрометра была впервые предложена в работе [3]. При решении некоторых спектроскопических задач выгодно использовать парный спектрометр, поэтому наш NaI(Tl)-кристалл ( $\varnothing$  254 мм x 200 мм) разделен на две половины, которые оптически изолированы. Несимметричная геометрия задана расстоянием 51 мм между осью NaI(Tl)-кристалла и осью колодца ( $\varnothing$  77 мм) для Ge(Li)-детектора. Гамма-излучение попадает на Ge(Li)-детектор через отверстие ( $\varnothing$  30 мм), которое имеется на половине высоты сцинтиллятора и расположено перпендикулярно к его оси. Кристалл NaI(Tl) изготовлен фирмой "Байкрон Корпорейшн", США.

Основные параметры антикомптоновского спектрометра измерялись с Ge(Li)-детектором с объемом 35 см<sup>3</sup> и толщиной n-слоя 1,5 мм,  $\Delta E_{\gamma}=2,25$  кэВ при  $E_{\gamma}=1332$  кэВ и отношение пик/комптон  $\approx 20$ . Конфигурация и размеры мертвых n- и p-слоев Ge(Li)-детектора были установлены сканированием в работе [1].

Спектры  $\gamma$ -излучения измерялись антикомптоновским спектрометром с радиоактивными источниками, помещенными на расстоянии 20 см от Ge(Li)-детектора. Максимальное значение коэффициента подавления ( $c_s$ (макс.)) для спектра  $^{60}\text{Co}$  равно 7,6. Пики одиночного вылета



в антикомптоновском спектрометре подавляются в 7,6 раза и пики двойного вылета в 56 раз. Простые спектры (без использования антикомптоновского спектрометра), антикомптоновские спектры и парные спектры  $\gamma$ -излучения  $^{137}\text{Cs}$ ,  $^{60}\text{Co}$  и  $^{24}\text{Na}$  приведены в работах [2, 4], где дана и зависимость коэффициента подавления от энергии гамма-квантов ( $c_s(E_\gamma)$ ).

Расчет коэффициента подавления и функции отклика антикомптоновского спектрометра производился при упрощающих предположениях: не учитывалось тормозное излучение, относительно простым способом рассчитывалось движение вторичных бета-частиц [5, 6, 7, 8]. Вычисленное значение отношения интенсивности пика полного поглощения (P) к интенсивности всего спектра  $^{60}\text{Co}(T)$  оказалось на 10 -20% выше, чем измеренное значение P/T. Поэтому, следуя работе [8], при расчетах мы увеличили толщину мертвых слоев Ge(Li) на 1 мм. Таким образом, с искусственно ухудшенным параметром Ge(Li)-детектора мы достигли лучшего согласия между расчетным и экспериментальным значением P/T.

Авторы работ [9, 10, 11] использовали при расчете параметров антикомптоновского спектрометра программу EGS [12], которая учитывает тормозное излучение и многократное рассеяние бета-частиц. В работе [10] показано, что вычисленная и измеренная эффективность регистрации Ge-детектора n-типа в области энергии  $\gamma$ -квантов от 0,1 МэВ до 12 МэВ очень хорошо согласуются. Несмотря на это, при расчете величины  $c_s(E_\gamma)$  для  $^{60}\text{Co}$  происходит ее завышение примерно на 10%, однако в области комптоновского края расчетная величина  $c_s$  равна от 20 до 30, в то время как измеренное значение в два раза ниже. Подробно эта проблема исследовалась в работе [11], где изменили коэффициент подавления с тремя Ge-детекторами n-типа в одной и той же антикомптоновской защите. Три значения  $c_s$  максимально

различаются на 20%, что объясняется не идеальным качеством Ge-датчика, которое влияет на сортирование заряда и ухудшает энергетическое разрешение датчика и значение  $c_s$  в области комптоновского края. Это снижение коэффициента подавления не может быть исправлено комптоновской защитой. Ухудшение сортирования заряда возникает, во-первых, из-за различного времени сортирования заряда, который образовался в разных частях рабочего объема датчика, т.е. из-за баллистического эффекта [13, 14] и, во-вторых, из-за потери части заряда его захватом. Сечение захвата заряда и плотность ловушек зависит от радиуса и качества Ge-датчика [15]. Недавно в работе [16] было получено согласие между вычисленными и измеренным значениями коэффициента подавления комптоновского края благодаря более точному учету поглощения комптоновски рассеянных гамма-квантов во всех мертвых слоях, находящихся между активными объемами Ge-датчика и защитного сцинтиллятора.

Функция отклика антикомптоновского спектрометра вычислялась нами с использованием простого варианта метода Монте-Карло, описанного ниже. Ввиду сложности вычислений при учете всех эффектов, имеющих место при прохождении  $\gamma$ -лучей в веществе и продолжительности расчетов (нужно генерировать несколько сотен тысяч фотонов), мы пренебрегали некоторыми менее существенными процессами, а именно:

- а) Сортированием заряда в Ge-датчике и временными свойствами импульсов.
- б) Движением заряженных частиц ( $e^-$  или  $e^+$ ) в NaI(Tl)-кристалле.
- в) Тормозным излучением (играет более значительную роль для  $E_e > 3$  МэВ).
- г) Рассеянием  $\gamma$ -излучения в коллиматоре входного отверстия.
- д) Взаимодействием  $\gamma$ -излучения с внешней крышкой и холодопроводом криостата.

В исследованной области энергий первичных гамма-квантов от 100 кэВ до 3500 кэВ мы учитывали основные типы взаимодействия  $\gamma$ -лучей с веществом: фотоэффект (сечение обозначим буквой  $\sigma_f$ ), комптоновское рассеяние ( $\sigma_c$ ) и рождение пар электрон-позитрон ( $\sigma_p$ ). Сечения для этих процессов при энергии фотона  $E_\gamma$  определялись интерполяцией (полиномом второй степени) табличных данных [17]. Свободный путь фотона  $l$ , т.е. расстояние от одного места, где происходит взаимодействие, к другому такому месту вычисляется из соотношения

$$l = - (\log h) / \mu_{tot}, \quad (1)$$

где  $h$  - случайное число в интервале (0,1) и  $\mu_{tot}$  ( $\text{см}^{-1}$ ) — коэффициент полного поглощения. Он зависит от плотности вещества  $\eta$  ( $\text{г}/\text{см}^3$ ), от атомного номера  $A$  ( $\text{г}/\text{моль}$ ) и пропорционален числу Авогадро  $N_0$  ( $\text{моль}^{-1}$ ).

$$\mu_{tot} = \eta N_0 (\sigma_f + \sigma_c + \sigma_p) / A. \quad (2)$$

В конце пути  $l$  происходит взаимодействие фотона с веществом. Какой тип взаимодействия произойдет, мы определяем опять с помощью случайного числа  $h$ , сравнивая его с величиной  $p_i$ , являющейся отношением сечения данного взаимодействия к сумме сечений всех взаимодействий. Если  $h < p_f$ , тогда имеет место фотоэффект, когда  $p_f < h < p_f + p_c$ , тогда происходит комптоновское рассеяние и для остальных значений  $h$  предполагаем, что имеет место рождение пар. Здесь

$$p_i = \sigma_i / (\sigma_f + \sigma_c + \sigma_p), \quad i = f, c, p. \quad (3)$$

При фотоэффекте появляется свободный электрон с энергией

$$E_e = E_\gamma - E_\nu, \quad (4)$$

где  $E_\nu$  — энергия связи электрона. Угловое распределение фотоэлектрона зависит от  $E_\gamma$  сложным образом, см., например, работу [18]. Ввиду того, что составляющая скорости электрона в направлении движения первичного фотона преобладает для  $E_\gamma > 0,511$  МэВ, предполагаем, что все электроны движутся в этом направлении. Энергия комптоновского рассеянного фотона  $E_R$  в работах Б. Карльсона [19, 20] дана для  $E_\gamma < 2$  МэВ соотношением

$$E_R' = E_\gamma' / [1 + SQ + (2E_\gamma' - S) Q^3], \quad (5)$$

где  $E_R'$  и  $E_\gamma'$  — энергии рассеянного и первичного фотона, даны в единицах массы покоя электрона;  $S = E_\gamma' / (1 + 0,5625 E_\gamma')$  и  $Q$  — случайное число в интервале (0,1). Если  $E_\gamma$  имеет значение от 2 МэВ до 5 МэВ, тогда обозначим соответствующую энергию рассеянного фотона  $E_R''$ ; она равна

$$E_R'' = E_R' + 0.5 (E_\gamma' - 4) [Q(1-Q)]^2. \quad (6)$$

Полярные углы рассеянного фотона  $\theta_R$  и электрона  $\theta_e$  вычисляются по формулам

$$\begin{aligned} \theta_R &= \arccos [1 + (1/E_\gamma') - (1/E_R')], \\ \theta_e &= \arctan [\cos(\theta_R/2) / (1 + E_\gamma')]. \end{aligned} \quad (7)$$

Азимутальные углы рассеянного фотона и электрона имеют однородное распределение в промежутке от 0 до  $2\pi$  и отличаются взаимно на угол  $\pi$ . Энергия рассеянного электрона равна

$$E_e = E_\gamma - E_R. \quad (8)$$

Учет рождения пар можно проводить в рамках разных моделей [20-23]. Использованная нами модель предполагает равномерное распределение кинетической энергии между электроном и позитроном, т.е.

$$E_- = h ( E_\gamma - 2mc^2 ), \quad (9)$$

$$E_+ = (1 - h) ( E_\gamma - 2mc^2 ),$$

где  $h$  — случайное число. Электрон (позитрон) вылетает в направлении, соответствующем полярному углу  $\theta_-$  ( $\theta_+$ ):

$$\theta_{\pm} = \arctan ( mc^2 / E_{\pm} ), \quad (10)$$

и азимутального угла  $\phi_- = 2\pi h$ ,  $\phi_+ = \pi(1+2h)$ . Предполагаем, что позитрон аннигилирует после своей остановки.

Расчет пути фотона начинается от его входа в Ge-детектор и кончается, когда его энергия достигает определенного минимального значения (нами выбрано 20 кэВ) или когда фотон покидает спектрометр.

В защитных сцинтилляторах BGO и NaI(Tl) можно не следить за постепенной потерей энергии электрона ввиду небольшого расстояния, на котором электрон потеряет всю энергию, по сравнению с размерами сцинтилляторов. В Ge-детекторе мы начинаем следить за движением

электронов с энергией выше 0,511 МэВ. При этом предполагаем прямолинейный путь электрона (или позитрона) и равномерные потери энергии электрона вдоль его пути. Средний пробег электрона в германии  $R$  [мм] рассчитывается для  $0,01 \text{ МэВ} < E_e < 3 \text{ МэВ}$  по формуле [24]:

$$R = 0,412 (E_e)^n, \quad (11)$$

где  $E_e$  — энергия электрона в МэВ и  $n = 1,265 - 0,0954 \ln(E_e)$ .

Размеры Ge(Li) детектора мы взяли для расчетов близкими к реальным (диаметр 36 мм, высота 46 мм, толщина мертвого  $p$ -слоя 1,5 мм). Внутренний мертвый  $p$ -слой учитывался в несколько приближенной форме как цилиндр диаметром 14 мм и высотой 35,5 мм. Детектор Ge(Li) помещается в алюминиевый криостат с толщиной стенки 2 мм. Рассеяние и поглощение гамма-квантов на стенке криостата мы учили при расчетах прибавлением к мертвому  $p$ -слою 1 мм германия, таким же образом поступили и в работе [7]. В итоге мы проводили расчеты с мертвым  $p$ -слоем толщиной 2,5 мм. Охлаждаемый медный стержень учитывался прибавлением к нижнему основанию Ge(Li)-детектора неактивного медного слоя толщиной 3 мм. Оказалось, что неактивный медный слой на результаты расчетов влияет минимально.

Сравнение экспериментального и расчетного спектра  $^{60}\text{Co}$  дано на рис.1 и в таблице 1. Экспериментальный спектр завышен в области низких энергий. Вероятно, этот факт можно объяснить в основном рассеянием первичных  $\gamma$ -квантов во входном коллиматоре свинцовой защиты перед их попаданием в Ge(Li)-детектор. Гамма-лучи, которые входят в Ge(Li)-детектор, не являются моноэнергетическими, поскольку содержат и комптоновски рассеянные гамма-кванты с более низкой

Таблица 1

Сравнение экспериментальных и расчетных параметров антикомптоновской защиты из NaI(Tl) для  $^{60}\text{Co}$

Ge(Li)	P/T	$(P/T)_s$	P/C	$(P/C)_s$	$c_s(\max)$
эксперимент	0,081	0,303	22	147	6,3
расчет-1	0,095	0,336	27	171	6,6
расчет-2	0,123	0,492	32	254	8,9

Расчет-1: сделан для реального Ge(Li)-детектора, см. текст.

Расчет-2: сделан для Ge(Li)-детектора одинаковых размеров, как в расчете-1, однако без внешних мертвых п-слоев.

Индекс  $s$ : обозначает антикомптоновский спектр.

энергии. Недостаточная высота вычисленного комптоновского спектра в области низких энергий может быть объяснена и неточностью в определении мертвых слоев в Ge(Li)-детекторе.

Зависимость фактора подавления комптоновского спектра от энергии для  $^{60}\text{Co}$  приведена на рис.2. Наблюдается хорошее согласие между экспериментом и расчетом. Несколько заниженное расчетное значение  $c_s(E_\gamma)$  в области энергий 200 кэВ (область обратного рассеяния) свидетельствует о большой вероятности обратного рассеяния в нерабочем объеме Ge(Li)-детектора с последующей абсорбцией этих гамма-квантов в рабочем объеме. Этот эффект можно объяснить несколько завышенным значением объема мертвых слоев в сердцевине детектора по сравнению с реальным объемом. Коэффициент подавления  $c_s$  мы рассчитали и для Ge(Li)-детектора указанных выше размеров, без внешних мертвых п-слоев, однако с сохранением внутреннего р-слоя.

Результаты расчетов, см. рис.2 и табл.1, указывают на значительное негативное влияние внешних мертвых п-слоев Ge(Li)-детектора на значение коэффициента подавления, особенно в области энергий над 300 кэВ.

В заключении нужно подчеркнуть, что:

- Относительно простая модель прохождения излучения в веществе вместе с методом Монте-Карло хорошо описывают энергетическую зависимость коэффициента подавления для антикомптоновского спектрометра.
- Хорошее согласие экспериментальных и расчетных значений основных параметров для конкретного антикомптоновского спектрометра позволяет надеяться, что результаты расчетов, проведенных для дру-

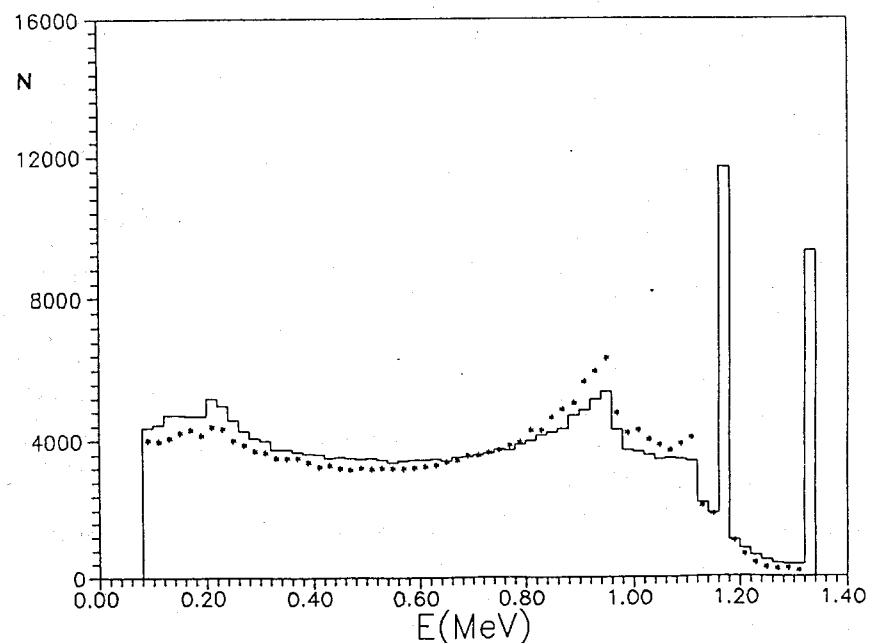


Рис.1. Экспериментальный (—) и вычисленный (\*) спектр  $\gamma$ -излучения  $^{60}\text{Co}$  антикомптоновского спектрометра.

гих размеров или (и) других сцинтилляционных материалов, будут близки к действительности.

- оптимальные параметры (т.е. полное использование) антиспонтанной защиты можно достичь только с качественным детектором, т.е. с детектором без паразитных мертвых слоев.

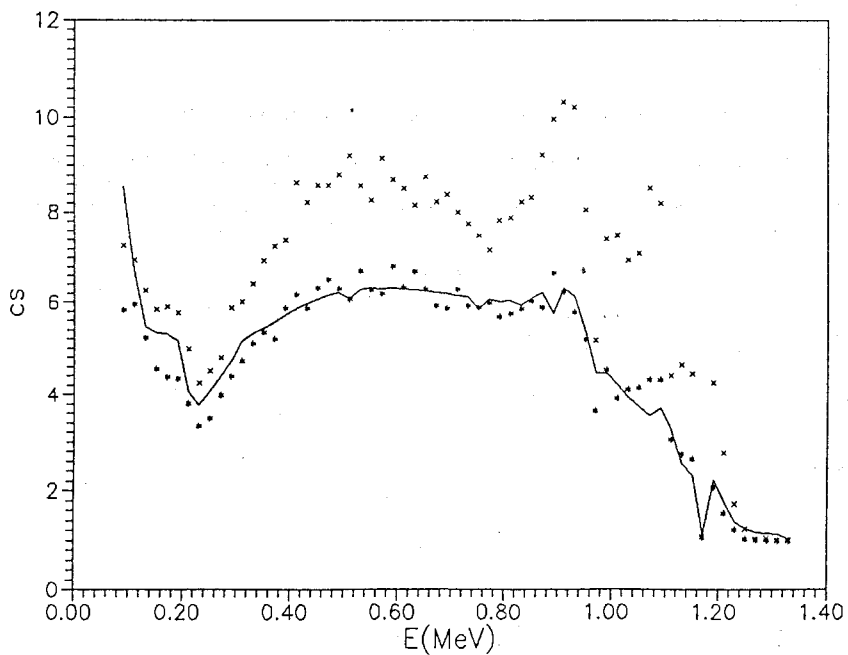


Рис.2. Зависимость коэффициента подавления от энергии  $\gamma$ -лучей для  $^{60}\text{Co}$ . Реальный детектор (толщина внешних мертвых n-слоев 2,5 мм), расчет ( \* ), экспериментальная зависимость ( — ) и идеализированный Ge (без внешних мертвых n-слоев), расчет ( x ).

## Литература

1. Adam J., Kracik B., Sbornik CSKAE - UVVR 9 (1979) 75.
2. Адам И. и др. Прикладная ядерная спектроскопия вып. 11, стр. 26, Атомиздат 1981.
3. Konijn J. et al. Nucl. Instr. Meth. 109 (1973) 83.
4. Adam J. et al. Jaderna energie 30 (1984) 41.
5. Aarts H.J.M. et al. Nucl. Instr. Meth. 172 (1980) 439.
6. Aarts H.J.M. et al. Nucl. Instr. Meth. 177 (1980) 417.
7. Byrne A.P., Dracoulis D.G., Nucl. Instr. Meth. A234 (1985) 281.
8. Hildingsson L., Nucl. Instr. Meth. A252 (1986) 91.
9. Lieder R.M. et al. Nucl. Instr. Meth. A220 (1984) 363.
10. Michel C. et al. Nucl. Instr. Meth. A251 (1986) 119.
11. Moszynski M. et al. Nucl. Instr. Meth. A280 (1989) 73.
12. Ford R.L., Nelson W.R., SLAC Report No 210, Stanford, CA (June 1978).
13. Goulding F.S., Landis D.A., IEEE Trans. Nucl. Sci., NS-35 (1988) 119.
14. Loo B.W. et al. IEEE Trans. Nucl. Sci., NS-35 (1988) 114.
15. Simpson M.L. et al. IEEE Trans. Nucl. Sci., NS-35 (1989) 260.
16. Rak J., Brudanin V.M. et al. Preprint JINR, E6-93-301, Dubna 1993.
17. Hubbell J.H. et al. J. Phys. Chem. Ref. Data 4 (1975) 471.  
Hubbell J.H. et al. J. Phys. Chem. Ref. Data 9 (1980) 1023.  
Storm E., Israel H.I., Nucl. Data Table A7 (1970) 565.
18. Grosswendt B., Waibel E., Nucl. Instr. Meth. 131 (1975) 143.
19. Carlson B., Los Alamos Sci. Lab. Reprint AECU-2857 (1953).
20. De Castro Faria N.N., Levesque P.J.A., Nucl. Instr. Meth. 46 (1967) 325.
21. Gaggero G., Nucl. Instr. Meth. 94 (1971) 481.
22. Aubin G. et al. Nucl. Instr. Meth. 76 (1969) 85.
23. Peterman B.F., Nucl. Instr. Meth. 104 (1972) 464.
24. Marnier P., Sheldon E., Physics of nuclei and particles 1, Academic Press, London, 1969.

Рукопись поступила в издательский отдел  
21 июля 1994 года.